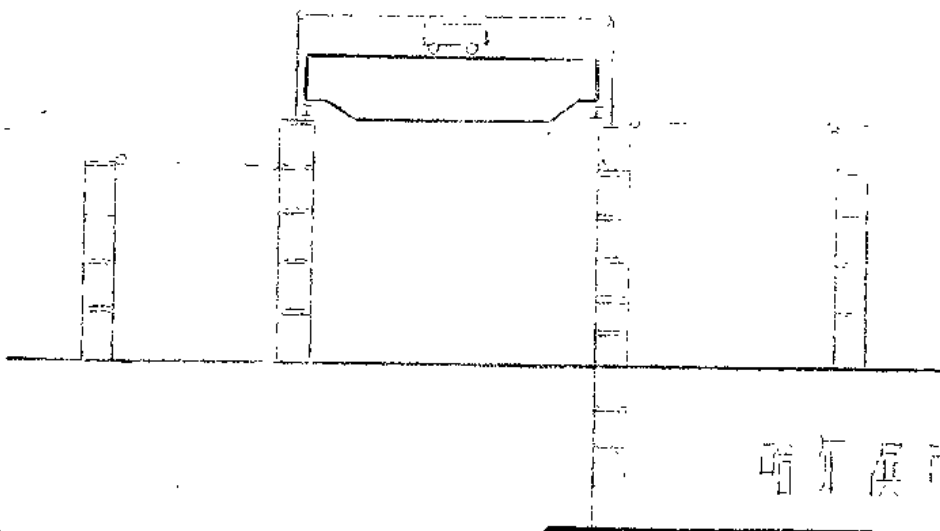


蒲河双股柱坝加木分析与计算手册



歷代政治中興真諦

前 言

我院生产技术科与研组吴兴诚同志，在其所著“单层厂房等壁双肢柱框架分析简化计算法”的理论基础上编制了这本手册，供设计上使用和参考。

文内例题及表格，虽已经过详细校对，但仍难免尚有差错遗漏之处。深望同志们提出宝贵意见。

哈尔滨市建筑设计院

一九七七年八月二十日

著者的话

本手册是在“单层厂房薄壁双肢柱排架分析简化计算法”基础上建立起来的，从各种系数的计算到双肢柱各部尺寸的取值都遵守现行“钢筋混凝土结构设计规范”TJ10—74及“厂房建筑统一化基本规则”TJ6—74。

其中系数 $\alpha_3, \alpha_4, \alpha_5, \alpha_6, \alpha_7, \alpha_8, \alpha_9, \alpha_{10}, \alpha_{11}$ 可直接从各该系数表中查出，而系数 $\alpha_1 = \alpha_2, \alpha_{12}$ 。当上柱截面高 $b_3 = 40\text{cm}$ 时的 α_0 值可直接从 α_0 值表中查出。上柱除 $b_3 = 40\text{cm}$ 以外的 α_0 值，可由 $\alpha_0 = \alpha^3 \left(\frac{J_H}{J_6} - 1 \right)$ 的公式计算出。

以上各种系数值的计算，都是在“哈尔滨市电子计算机研究所”协助下用电子计算机计算的，对此特表谢意。

手册中例题，都计算到在各种荷载作用下排架横梁内力为止，关于绘制柱弯矩内力图，计算剪力及轴向压力、内力组合等，都与一般排架相同，用到这一部份时可参考其《非双肢柱排架分析及设计手册》，在此不再重复。

本文在内容上和数值上，均可能有错误之处，希望广大工程技术人员和同志们提出批评和指正。

著者：吴兴波

(2)

1977年5月30日初版
1978年8月20日重版

华主席最新指示

科学要兴旺发达起来，要捷报频传。

目 录

前 言	(1)
著者的话	(2)
第一章 薄壁双肢柱在各种形式的外荷载作用下，各水平支点处的反力与变形公式	
第一节：推导公式的说明	1
第二节：薄壁双肢柱位移及支点反力公式	3
第三节：薄壁双肢柱排架结构中形常数的 计算	10
第二章 薄壁双肢柱排架柱的截面排架平面外弯 矩的计算	
第一节：薄壁双肢柱的截面选择及构造配筋	18
第二节：垂直排架平面内的弯矩计算	23
第三章 薄壁双肢柱排架分析方法	
第一节：双肢柱各部尺寸的决定	25
第二节：薄壁双肢柱各支点的截常数及形常数 的求法	27
第三节：薄壁双肢柱排架横梁内力的求法	28
第四章 薄壁双肢柱排架分析计算实例	
第一节：(例题 1) 不等高三跨厂房柱为双肢柱，且柱脚 不在同一水平上	29
第二节：不等高两跨厂房下柱为工字形，上柱 为矩形柱脚在同一水平上(例题 2)	50
	(3)

第三节：不等高两跨厂房，下柱为薄壁双肢柱
上柱为矩形，柱脚在同一水平上

(例题3) 67

第五章 薄壁双肢柱截面强度计算方法

第一节：用弹性法计算双肢柱截面的内力 79

第二节：双肢柱柱肢配筋计算 80

第三节：用弹塑性法计算双肢柱截面的内力 82

第四节：用弹性方法计算双肢柱柱肢配筋实例 85

第五节：用弹塑性法计算双肢柱柱肢配筋实例 87

第六章 表、值计算表及柱肢几何特征表

(一) 6M.12M 柱距中缀工作制运动桥式吊车反
力资料表 90

(一) 6M.12M 柱距重级工作制运动桥式吊车反
力资料表 91

计算系数表及几何特征表

$b_3 = 40\text{cm}$ $b_1 = 10$ 及, 值表 92.93

" $b_1 = 12$ 94.35

" $b_1 = 14$ 96.97

" $b_1 = 16$ 98.99

" $b_1 = 18$ 100.101

" $b_1 = 20$ 102.103

" $b_1 = 22$ 104.105

$b_3 = 40\text{cm}$ $b_1 = 24$ 106.107

$b_1=10$	反 η 值表	108
$b_1=12$	"	109
$b_1=14$	"	110
$b_1=16$	"	111
$b_1=18$	反 η 值系数表	112
$b_1=20$	"	113
$b_1=22$	"	114
$b_1=24$	"	115
$\alpha^3, b_2, b_4, b_5, b_6, b_7, b_8, b_9, b_{10}$, 值系数表		116
$n=3$	反 β 值系数表	117
$n=4$	"	118
$n=5$	"	119
$n=6$	"	120
$n=7$	"	121
$n=8$	"	122
$n=9$	"	123
$n=10$	"	124
η $b_1=20$	双肢柱截面惯性矩 J_H 值表	125
$b_1=25$	"	126

$h_1 = 30$	双吸柱轴向流泵丁值表	127
$h_1 = 35$	"	128
$h_1 = 40$	"	129
$h_1 = 45$	"	130
$h_1 = 50$	"	131
$h_1 = 55$	"	132
$h_1 = 60$	"	133

第二章 双肢柱在各种形式的外荷载作用下各水平支承处的反力与变位公式

薄壁双肢柱在各种形式的外荷载作用下各水平支承处的反力与变位公式

第一节 推导公式的说明

薄壁双肢柱在各种形式的外荷载作用下，各水平支承处的反力与变位公式的推导皆依赖于同跨高实腹柱头变位（上柱高与下柱高相对应的相等）相比的变位增量系数 β 。 $\Delta \delta_{11}$ 是在柱头作用有 $x=1$ 的单位水平外荷载作用下求出的双肢柱柱间变位与等高实腹柱相应部位变位相比的增量，其值为：

$$\frac{S^3}{24 E J_c} (1 + 2\beta)$$

推导这个公式时，假设弯矩零点布置在肢高的中点，並略去剪力 Q 对位移的影响。其中：

$$\beta = \frac{C J_c}{S J_p}$$

C —— 双肢柱柱肢截凸重心间的距离。

J_c —— 双肢柱柱肢截凸的惯性矩。

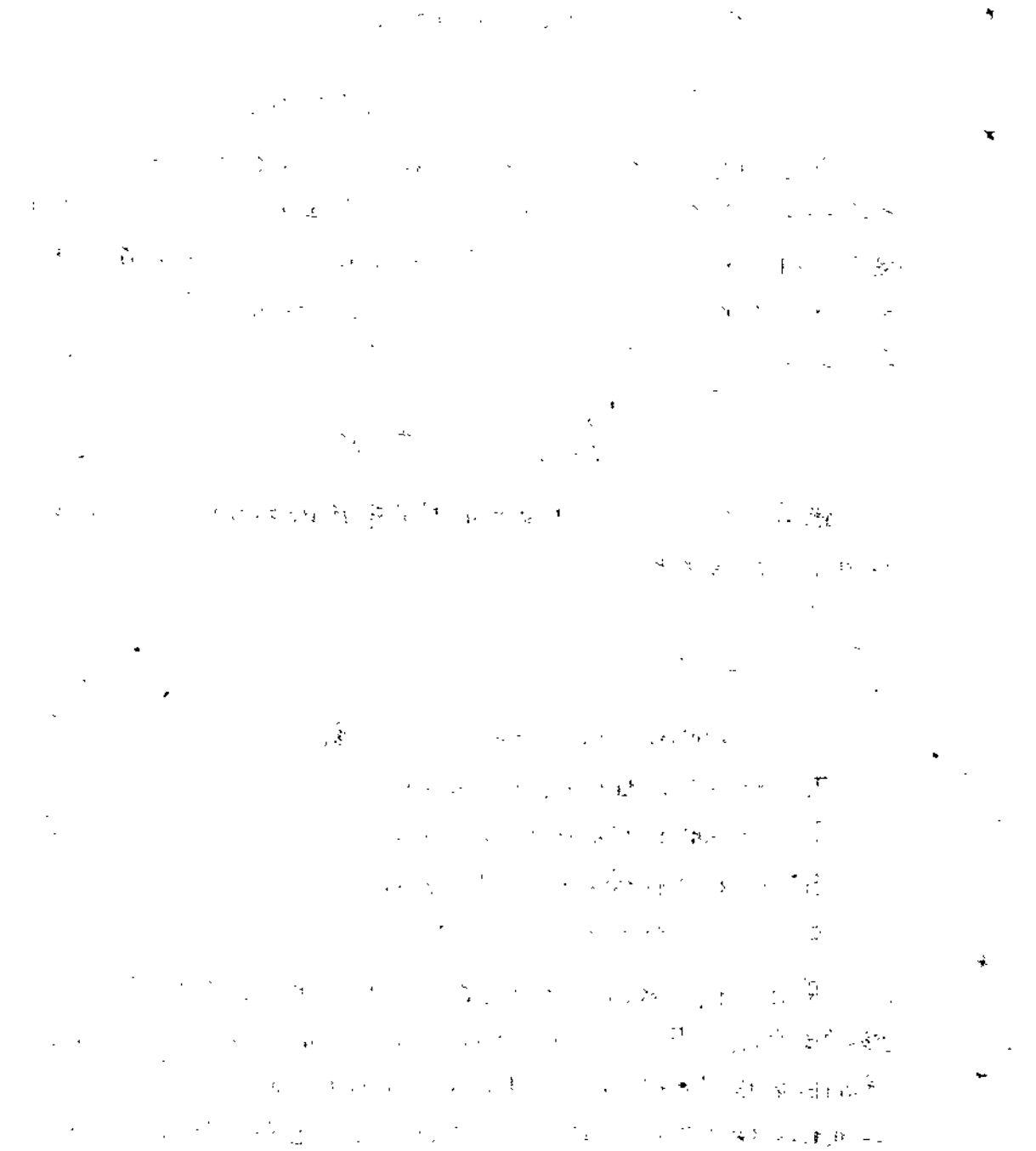
J_p —— 双肢柱横肢的截凸惯性矩。

S —— 双肢柱横肢轴线间的距离。

E —— 双肢柱混凝土的弹性模量。

实际上我们应当说明的是在假设横梁的单位刚度 $\frac{E J_p}{C}$ 比较肢的单位刚度 $\frac{E J_c}{S}$ 为大，横梁变形小于肢，认为横梁很刚性。我们考虑横梁和肢的变形对求双肢柱的内力影响时，在某种程度上是把由横梁和肢所组成的双肢柱可以看成刚架杆一样来处理。

並且忽略了双股拉最后一节节间弯矩零点位置和最上一节之间
弯矩零点不在股长的中点的误差的修正的。



第二节

薄壁双肢柱位移及支承反力公式

在本节的各公式中使用的各种系数值表示如下：

$$k_0 = \alpha^3 \left(\frac{J_H}{J_B} - 1 \right)$$

$$k'_0 = \alpha^3 \left(\frac{J_H}{J_B} - 1 \right)$$

$$k_1 = \frac{J_H (1-\alpha)^3 (1+2\beta)}{8n^2 J_c}$$

$$k'_1 = \frac{J_H (1-\alpha_1)^3 (1+2\beta)}{8n^2 J_c}$$

$$k_2 = \frac{(1-\alpha)^2 (\alpha+2)}{2}$$

$$\begin{aligned} k_3 &= \frac{m^2}{n^2} \cdot \frac{3(1-\alpha)^3}{2} \left(1 + \frac{\alpha}{1-\alpha} - \frac{m}{3n} \right) \\ &= 1.5 \gamma^2 k'_3 \left(\frac{1}{k'_3} - \frac{\gamma}{3} \right) \end{aligned}$$

$$k_4 = 1.33(1+\alpha)$$

$$k_5 = 1 - \alpha^2$$

$$k'_5 = 1 - \alpha_1^2$$

$$k_6 = 1 - \alpha$$

$$k'_6 = 1 - \alpha_1$$

$$k_7 = \frac{1}{\alpha}$$

$$k'_7 = \frac{1}{\alpha_1}$$

$$k_8 = (1-\alpha)^3$$

$$\beta_9 = 1 - 1.05 \alpha$$

$$\beta_{10} = 1 - 0.55 \alpha$$

$$Y = \frac{m}{n}; \quad S = \frac{l}{l_1} \text{ 其中 } l_1 \text{ 为水平支点到柱脚处长度.}$$

$$l_g = l - l_1.$$

$$l_1 = \alpha l - l_g = \alpha_1 l_1,$$

$$b = (1 - \alpha) l \text{ (下柱高)}$$

$$a = \alpha l \text{ (上柱高)}$$

$$l = a + b$$

$$\eta = \frac{m S}{l}$$

J_H — 双肢柱下柱的全截面对垂直于弯矩作用凸内重心轴惯性矩。

M — 外力弯矩，单位为 $T \cdot M$ 或 $kg \cdot cm$.

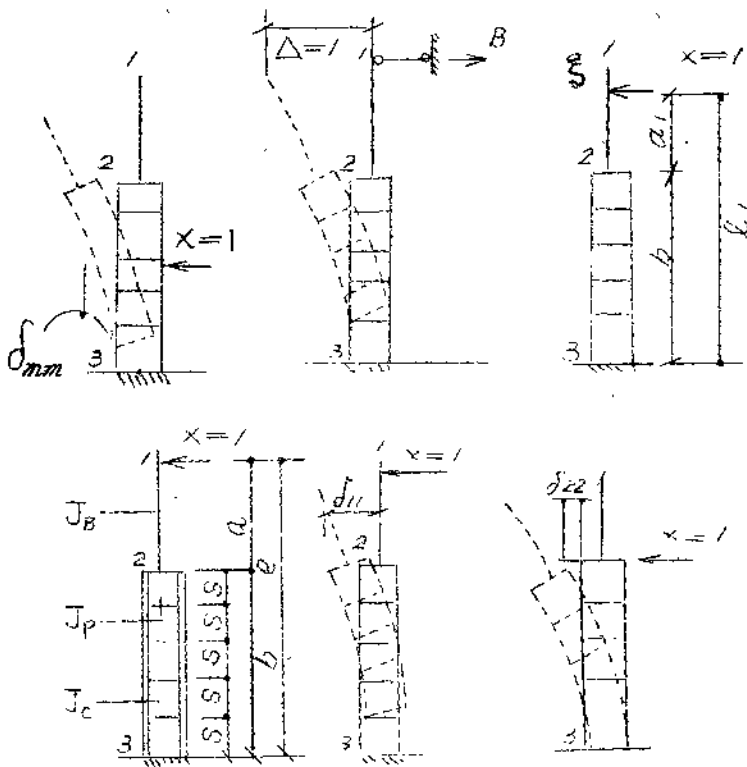
f — 均布风力，单位为 T/m 或 kg/cm .

w — 集中风力，单位为 T 或 kg .

T — 水平燃车力，单位为 T 或 kg .

另外在本节中所列云之各种公式亦可用于求各种截面型式的反力及变位。当决定双柱横肢间距 S 时，令 $S = \frac{5 J_C C}{J_P}$ ，其中 J_C 为单柱单肢的惯性矩， J_P 为双柱横肢惯性矩， C 为管柱肢往圆心的距离。

其它各符号详见各图中所示。



$$f_{21} = f_{12} = -\frac{\ell^3}{3E_{\text{CH}}^2} (k_1 + k_2) \quad \dots \quad (2)$$

$$d_{SS} = \frac{\ell_1^3}{3EJ_H} (1 + k_o' + k_i') \quad \dots \dots \dots (3)$$

$$f_{1,5} = f_{1,51} = \frac{\ell_1^3}{\delta E J_H} \left((3\bar{s} - 1) + \frac{f_{2,1}'(2\lambda_1 + 3\bar{s} - 3)}{\alpha_1} + 2f_{1,1}' \right) \quad (4)$$

$$f_{22} = \frac{\ell^3}{3E_{TH}} (f_{k_1} + f_{k_2}) \quad \dots \quad (5)$$

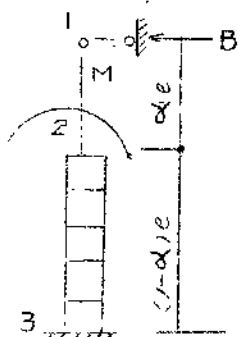
$$\delta_{mm} = \frac{\ell^3}{3EJ_H} (\gamma^3 k_0 + \gamma k_1) \quad \dots \dots \dots (6)$$

$$\delta_{1m} = \delta_{m1} = \frac{\ell^3}{3EJ_H} (k_3 + \gamma k_1) \quad \dots \dots \dots (7)$$

$$\delta_{2m} = \delta_{m2} = \frac{\ell^3}{3EJ_H} \left[1.5 \gamma^3 k_0^2 \left(k_0 - \frac{mS}{3\ell} \right) + \gamma k_1 \right] \quad \dots \dots \dots (8)$$

当 $m=n$ 时:

$$\delta_{m1} = \delta_{1m} = \delta_{21} = \delta_{12}; \quad k_2 = k_3 = 1.$$

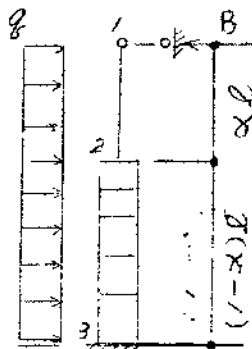


$$\gamma = \frac{m}{n}$$

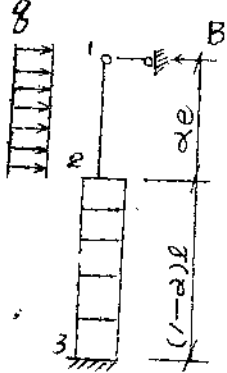
$$B = \frac{3Mk_5}{2e(1+k_0+k_1)} \quad \dots \dots \dots 9$$

$$\delta_{1M} = \frac{Ml^2k_5}{2EJ_H} \quad \dots \dots \dots 10$$

$$B = \frac{3\gamma e(1+\alpha k_0 + k_4 * k_1)}{8(1+k_0+k_1)} \quad \dots \dots \dots 11$$



$$\delta_{1g} = \frac{8l^4}{8EJ_H} (1+\alpha k_0 + k_4 * k_1) \quad \dots \dots \dots 12$$

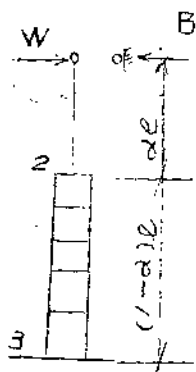


$$B = \frac{8e}{8} \cdot \frac{3(1+\alpha f_0) - f_0^3(3+\alpha) + 8\alpha f_1}{1 + f_0 + f_1}$$

13

$$f_{1q} = \frac{8l^4}{24EJ_H} \left[3(1+\alpha f_0) - f_0^3(3+\alpha) + 8\alpha f_1 \right]$$

14

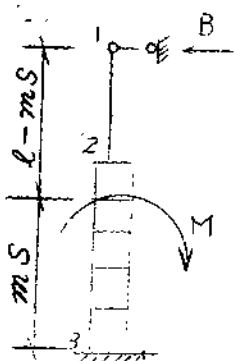


$$v = w$$

15

$$f_{1q} = \frac{wl^3}{3EJ_H} (1 + f_0 + f_1)$$

16



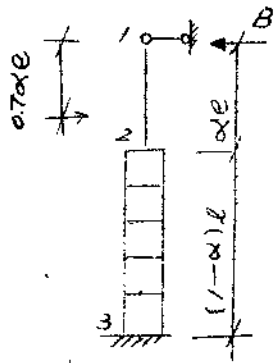
$$B = \frac{1.5MmS(2l-mS)}{l^3(1+f_0+f_1)} = \frac{1.5Myf_0(2-yf_0)}{l(1+f_0+f_1)}$$

17

$$f_{IM} = \frac{1.5yMf_0(z-yf_0)l^2}{3EJ_H}$$

18

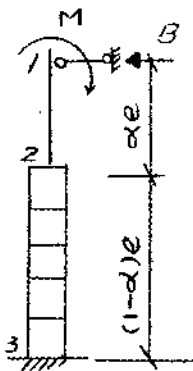
- 7 -



$$B = \frac{T(\kappa_9 + 0.122 \kappa_0 + \kappa_1)}{1 + \kappa_0 + \kappa_1} \quad + 1917$$

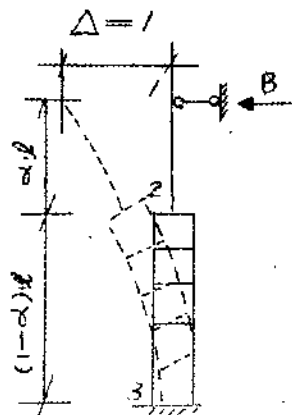
$$\delta_{1T} = \frac{Tl^3}{3EJ_H} (\kappa_9 + 0.122 \kappa_0 + \kappa_1)$$

+ 2070

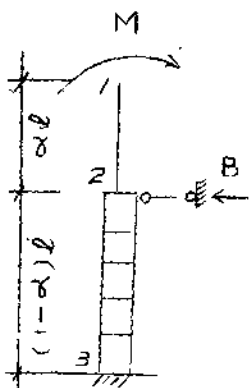


$$B = \frac{1.5M(1 + \kappa_7 \cdot \kappa_0)}{l(1 + \kappa_0 + \kappa_1)} \quad + 211$$

$$\delta_{1M} = \frac{Ml^2(1 + \kappa_7 \cdot \kappa_0)}{2EJ_H} \quad + 22 ?$$



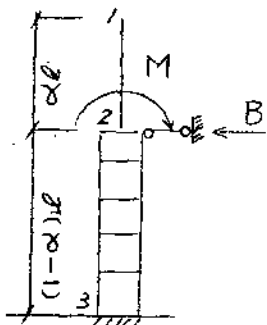
$$B_{\Delta=1} = \frac{3EJ_H}{l^3(1 + \kappa_0 + \kappa_1)} \quad + 23$$



$$B = \frac{1.5 M \frac{\ell^2}{k_6}}{\ell (k_8 + k_1)} \quad 24$$

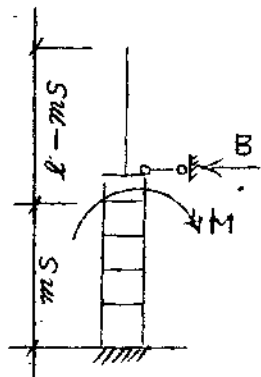
$$J_{2M} = \frac{M e^2 (1-\alpha)^2}{2 E J_H} = \frac{M e^2 \frac{\ell^2}{k_6}}{2 E J_H}$$

25



$$B = \frac{1.5 M \frac{\ell^2}{k_6}}{\ell (k_8 + k_1)} \quad 26$$

$$J_{2M} = \frac{M \ell^2 \frac{\ell^2}{k_6}}{2 E J_H} \quad 27$$



$$\begin{aligned} B &= \frac{3 M m S \left(\frac{\ell^2}{k_6} - \frac{m S}{2 \cdot e} \right)}{\ell^2 (k_8 + k_1)} \\ &= \frac{1.5 M Y \frac{\ell^2}{k_6} (2-Y)}{\ell^2 (k_8 + k_1)} \end{aligned} \quad 28$$

$$J_{2M} = \frac{M \ell^2 Y \frac{\ell^2}{k_6} (2-Y)}{2 E J_H} \quad 29$$

- 9 -